

# Stabilní a rychlé numerické metody pro řešení náročných inženýrských úloh

Ph.D. akademie, 18. listopadu 2022, FEI VŠB-TU Ostrava

Dalibor Lukáš

Katedra aplikované matematiky, FEI  
VŠB-TU Ostrava

web: <http://homel.vsb.cz/~luk76>  
email: dalibor.lukas@vsb.cz

# Stabilní a rychlé numerické metody pro řešení náročných inženýrských úloh

## Osnova kurzu

1. Soustavy lineárních rovnic
2. Interpolace a numerická integrace
3. Aproximace metodou nejmenších čtverců, FFT
4. Obyčejné a parciální diferenciální rovnice metodami konečných a hraničních prvků

# Stabilní a rychlé numerické metody pro řešení náročných inženýrských úloh

## Osnova 3. přednášky: Aproximace metodou nejmenších čtverců, FFT

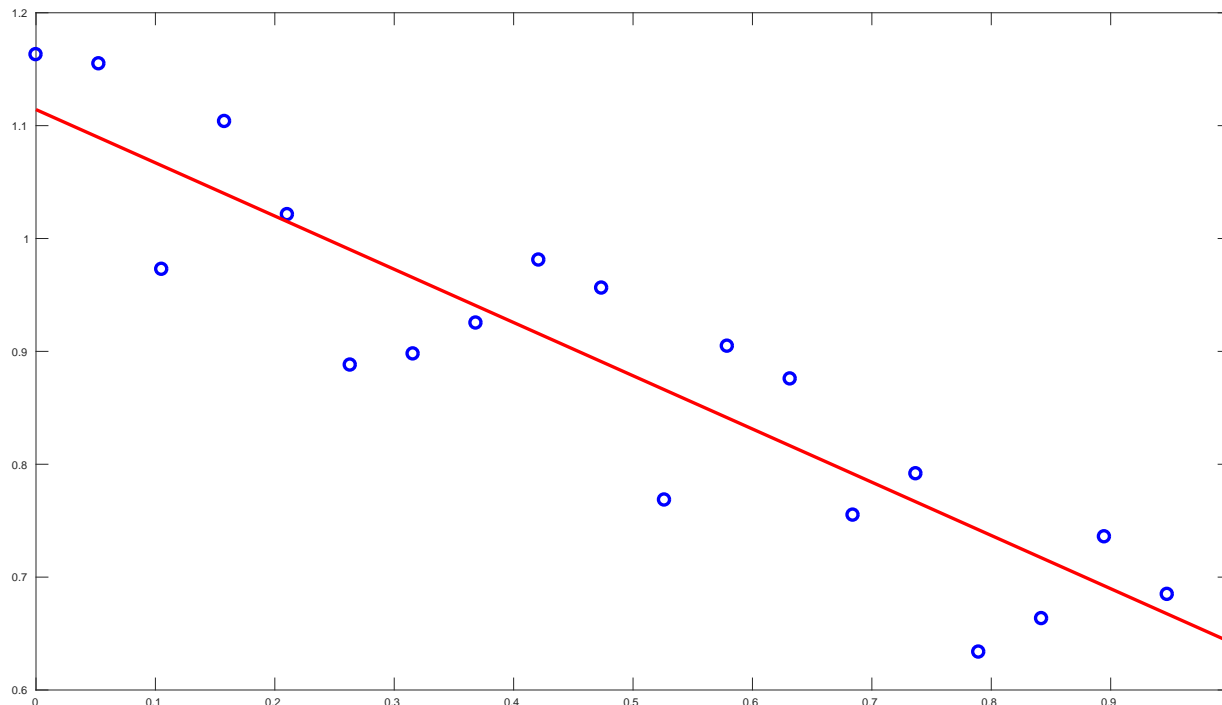
- Metoda nejmenších čtverců konkrétně
- Metoda nejmenších čtverců abstraktně
- Metoda nejmenších čtverců stabilně a rychle
- Rychlá Fourierova transformace
- Spektrální metody řešení diferenciálních rovnic

# Metoda nejmenších čtverců konkrétně

## Lineární regrese

Proložme  $(x_0, y_0), \dots, (x_m, y_m) \in \mathbb{R}^2$ , kde  $m \gg 1$  a  $x_i \neq x_j$  pro  $i \neq j$  lineární funkcí

$$f_1(x) := \alpha_0 + \alpha_1 x := \arg \min_{\beta_0, \beta_1 \in \mathbb{R}} \sum_{i=0}^m (\beta_0 + \beta_1 x_i - y_i)^2.$$



# Metoda nejmenších čtverců konkrétně

## Lineární regrese

Jedná se o minimalizaci kvadratické funkce tzv. kvadratické programování,

$$\varphi(\boldsymbol{\beta}) := \sum_{i=0}^m (\beta_0 + \beta_1 x_i - y_i)^2 = c - 2 \mathbf{b}^T \cdot \boldsymbol{\beta} + \boldsymbol{\beta}^T \cdot \mathbf{A} \cdot \boldsymbol{\beta},$$

kde

$$c := \sum_{i=0}^m (y_i)^2, \quad \mathbf{b} := \begin{pmatrix} \sum_{i=0}^m y_i \\ \sum_{i=0}^m x_i y_i \end{pmatrix}, \quad \mathbf{A} := \begin{pmatrix} m+1 & \sum_{i=0}^m x_i \\ \sum_{i=0}^m x_i & \sum_{i=0}^m (x_i)^2 \end{pmatrix}.$$

Úloha je ekvivalentní řešení soustavy 2 lineárních rovnic o 2 neznámých,

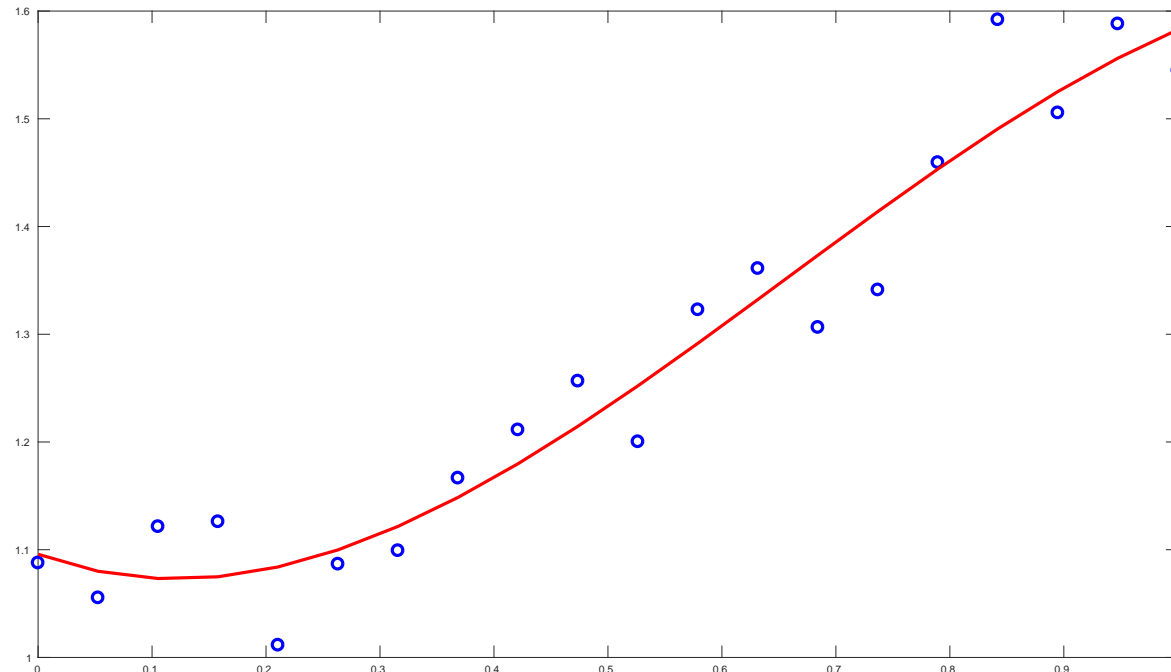
$$\mathbf{A} \cdot \boldsymbol{\alpha} = \mathbf{b}.$$

# Metoda nejmenších čtverců konkrétně

## Polynomiální regrese

Proložme  $(x_0, y_0), \dots, (x_m, y_m) \in \mathbb{R}^2$ , kde  $m \gg n$  a  $x_i \neq x_j$  pro  $i \neq j$  polynomem

$$f_n(x) := \sum_{j=0}^n \alpha_j x^j := \arg \min_{\beta \in \mathbb{R}^{n+1}} \sum_{i=0}^m \left( \sum_{j=0}^n \beta_j x^j - y_i \right)^2.$$



# Metoda nejmenších čtverců konkrétně

## Polynomiální regrese

Opět se jedná o minimalizaci kvadratické funkce tzv. kvadratické programování,

$$\varphi(\boldsymbol{\beta}) := \sum_{i=0}^m \left( \sum_{j=0}^n \beta_j x^j - y_i \right)^2 = c - 2 \mathbf{b}^T \cdot \boldsymbol{\beta} + \boldsymbol{\beta}^T \cdot \mathbf{A} \cdot \boldsymbol{\beta},$$

kde

$$c := \sum_{i=0}^m (y_i)^2, \quad \mathbf{b} := \begin{pmatrix} \sum_{i=0}^m y_i \\ \sum_{i=0}^m x_i y_i \\ \vdots \\ \sum_{i=0}^m (x_i)^n y_i \end{pmatrix}, \quad \mathbf{A} := \begin{pmatrix} m+1 & \sum_{i=0}^m x_i & \dots & \sum_{i=0}^m (x_i)^n \\ \sum_{i=0}^m x_i & \sum_{i=0}^m (x_i)^2 & \dots & \sum_{i=0}^m (x_i)^{n+1} \\ \vdots & \vdots & \ddots & \vdots \\ \sum_{i=0}^m (x_i)^n & \sum_{i=0}^m (x_i)^{n+1} & \dots & \sum_{i=0}^m (x_i)^{2n} \end{pmatrix}.$$

Úloha je ekvivalentní řešení soustavy  $n+1$  lineárních rovnic o  $n+1$  neznámých,

$$\mathbf{A} \cdot \boldsymbol{\alpha} = \mathbf{b}.$$

## Metoda nejmenších čtverců konkrétně

### Řešení přeuročených soustav lineárních rovnic

Soustava  $m$  lineárních rovnic o  $n$  neznámých

$$\widehat{\mathbf{A}} \cdot \boldsymbol{\alpha} = \widehat{\mathbf{b}}$$

nemá řešení, právě když

$$\widehat{\mathbf{b}} \notin \mathcal{H}(\widehat{\mathbf{A}}) := \{\mathbf{A} \cdot \boldsymbol{\beta} : \boldsymbol{\beta} \in \mathbb{R}^n\}.$$

Metoda nejmenších čtverců je ekvivalentní ortogonální projekci  $\widehat{\mathbf{b}}$  na  $\mathcal{H}(\widehat{\mathbf{A}})$ ,

$$\mathbf{A} \cdot \boldsymbol{\alpha} = \mathbf{b},$$

kde  $\mathbf{A} := \widehat{\mathbf{A}}^T \cdot \widehat{\mathbf{A}}$  a  $\mathbf{b} := \widehat{\mathbf{A}}^T \cdot \widehat{\mathbf{b}}$ .

### Polynomiální regrese jako přeuročená soustava

$$\begin{aligned} \alpha_0 + \alpha_1 x_0 + \cdots + \alpha_n (x_0)^n &= y_0 \\ \vdots & \\ \alpha_0 + \alpha_1 x_m + \cdots + \alpha_n (x_m)^n &= y_m \end{aligned} \iff \widehat{\mathbf{A}} := \begin{pmatrix} 1 & x_0 & \dots & (x_0)^n \\ \vdots & \vdots & & \vdots \\ 1 & x_m & \dots & (x_m)^n \end{pmatrix}, \quad \widehat{\mathbf{b}} := \begin{pmatrix} y_0 \\ \vdots \\ y_m \end{pmatrix}$$

# Stabilní a rychlé numerické metody pro řešení náročných inženýrských úloh

## Osnova 3. přednášky: Aproximace metodou nejmenších čtverců, FFT

- Metoda nejmenších čtverců konkrétně
- Metoda nejmenších čtverců abstraktně
- Metoda nejmenších čtverců stabilně a rychle
- Rychlá Fourierova transformace
- Spektrální metody řešení diferenciálních rovnic

# Metoda nejmenších čtverců abstraktně

## Ortogonalní projekce dat do podprostoru

Mějme vektorový prostor  $V$  se skalárním součinem  $(\cdot, \cdot)$  a podprostor konečné dimenze

$$V_n := \langle \varphi_0, \varphi_1, \dots, \varphi_n \rangle.$$

Je dán prvek (data)  $\mathbf{u} \in V$ . Hledáme jeho ortogonalní projekci na  $V_n$ :

$$\mathbf{u}_n = \sum_{j=0}^n \alpha_j \varphi_j := \arg \min_{\mathbf{v}_n := \sum_{j=0}^n \beta_j \varphi_j \in V_n} \|\mathbf{u} - \mathbf{v}_n\|.$$

Jedná se o řešení soustavy lineárních rovnic

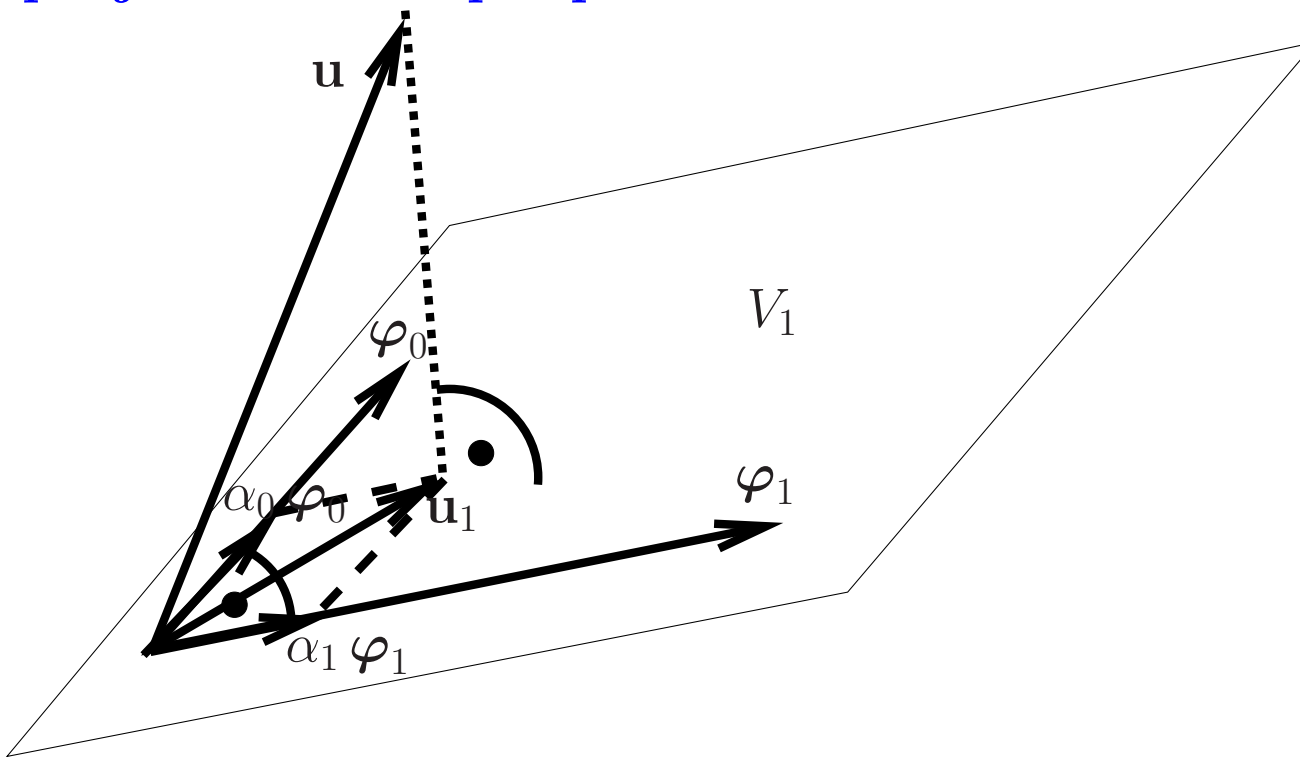
$$\mathbf{A} \cdot \boldsymbol{\alpha} = \mathbf{b},$$

kde

$$\mathbf{A} := \begin{pmatrix} (\varphi_0, \varphi_0) & \dots & (\varphi_0, \varphi_n) \\ \vdots & \ddots & \vdots \\ (\varphi_n, \varphi_0) & \dots & (\varphi_n, \varphi_n) \end{pmatrix}, \quad \mathbf{b} := \begin{pmatrix} (\mathbf{u}, \varphi_0) \\ \vdots \\ (\mathbf{u}, \varphi_n) \end{pmatrix}.$$

# Metoda nejmenších čtverců abstraktně

Ortogonalní projekce dat do podprostoru



Polygonální regrese jako ortogonalní projekce

$$\varphi_j := x^j, \quad (f(x), g(x)) := \sum_{i=0}^m f(x_i) g(x_i).$$

# Stabilní a rychlé numerické metody pro řešení náročných inženýrských úloh

## Osnova 3. přednášky: Aproximace metodou nejmenších čtverců, FFT

- Metoda nejmenších čtverců konkrétně
- Metoda nejmenších čtverců abstraktně
- Metoda nejmenších čtverců stabilně a rychle
- Rychlá Fourierova transformace
- Spektrální metody řešení diferenciálních rovnic

# Metoda nejmenších čtverců stabilně a rychle

## Legendreova řada

Pro skalární součin

$$(f(x), g(x)) := \int_{-1}^1 f(x) g(x) dx$$

volíme bázi Legendreových polynomů

$$P_0(x) := 1, \quad P_1(x) := x, \quad P_j(x) := \frac{2j-1}{j} x P_{j-1}(x) - \frac{j-1}{j} P_{j-2}(x) \text{ pro } j \geq 2.$$

Aproximace funkce  $f(x)$  je pak částečný součet (Fourier-)Legendreovy řady

$$f_n(x) = \sum_{j=0}^n \frac{(f(x), P_j(x))}{(P_j(x), P_j(x))} P_j(x).$$

Skalární součiny approximujeme Gauss-Legendreovou kvadraturou řádu  $N > n$ .

# Metoda nejmenších čtverců stabilně a rychle

## Čebyševova řada

Pro skalární součin

$$(f(x), g(x)) := \int_{-1}^1 \frac{1}{\sqrt{1-x^2}} f(x) g(x) dx$$

volíme bázi Čebyševových polynomů

$$T_0(x) := 1, \quad T_1(x) := x, \quad T_j(x) := 2x T_{j-1}(x) - T_{j-2}(x) \text{ pro } j \geq 2.$$

Aproximace funkce  $f(x)$  je pak částečný součet (Fourier-)Čebyševovy řady

$$f_n(x) = \sum_{j=0}^n \frac{(f(x), T_j(x))}{(T_j(x), T_j(x))} T_j(x).$$

Skalární součiny approximujeme Gauss-Čebyševovou kvadraturou rádu  $N > n$ .

# Metoda nejmenších čtverců stabilně a rychle

## Laguerrova řada

Pro skalární součin

$$(f(x), g(x)) := \int_0^\infty e^{-x} f(x) g(x) dx$$

volíme bázi Laguerrových polynomů

$$L_0(x) := 1, \quad L_1(x) := 1-x, \quad L_j(x) := \frac{2j-1-x}{n} L_{j-1}(x) - \frac{j-1}{j} L_{j-2}(x) \text{ pro } j \geq 2.$$

Aproximace funkce  $f(x)$  je pak částečný součet (Fourier-)Laguerrovy řady

$$f_n(x) = \sum_{j=0}^n \frac{(f(x), L_j(x))}{(L_j(x), L_j(x))} L_j(x).$$

Skalární součiny approximujeme Gauss-Laguerrovou kvadraturou řádu  $N > n$ .

# Metoda nejmenších čtverců stabilně a rychle

## Hermiteova řada

Pro skalární součin

$$(f(x), g(x)) := \int_{-\infty}^{\infty} e^{-x^2} f(x) g(x) dx$$

volíme bázi Hermiteových polynomů

$$H_0(x) := 1, \quad H_1(x) := x, \quad H_j(x) := 2x H_{j-1}(x) - 2(j-1) H_{j-2}(x) \text{ pro } j \geq 2.$$

Aproximace funkce  $f(x)$  je pak částečný součet (Fourier-)Hermiteovy řady

$$f_n(x) = \sum_{j=0}^n \frac{(f(x), H_j(x))}{(H_j(x), H_j(x))} H_j(x).$$

Skalární součiny approximujeme Gauss-Hermiteovou kvadraturou rádu  $N > n$ .

# Stabilní a rychlé numerické metody pro řešení náročných inženýrských úloh

## Osnova 3. přednášky: Aproximace metodou nejmenších čtverců, FFT

- Metoda nejmenších čtverců konkrétně
- Metoda nejmenších čtverců abstraktně
- Metoda nejmenších čtverců stabilně a rychle
- Rychlá Fourierova transformace
- Spektrální metody řešení diferenciálních rovnic

# Rychlá Fourierova transformace

## Trigonometrická řada

Pro skalární součin

$$(f(x), g(x)) := \int_0^{2\pi} f(x) g(x) dx$$

volíme harmonickou,  $L^2(0, 2\pi)$ -ortogonální, bázi

$$\varphi_0^c(x) := 1 \text{ a pro } j \geq 1 : \varphi_j^c(x) := \cos(jx), \quad \varphi_j^s(x) := \sin(jx).$$

Aproximace funkce  $f(x)$  je pak částečný součet trigonometrické řady

$$f_n(x) = \frac{2}{\pi} \int_0^{2\pi} f(x) dx + \frac{1}{\pi} \sum_{j=1}^n \left\{ \left( \int_0^{2\pi} f(z) \sin(jz) dz \right) \sin(jx) + \left( \int_0^{2\pi} f(z) \cos(jz) dz \right) \cos(jx) \right\}.$$

# Rychlá Fourierova transformace

## Fourierova řada

Pro skalární součin nad komplexními funkcemi

$$(f(x), g(x)) := \int_0^{2\pi} f(x) g^*(x) dx,$$

kde  $g^*(x) := \operatorname{Re} g(x) - i \operatorname{Im} g(x)$ , volíme bázi

$$\varphi_j(x) := e^{i(jx)} = \cos(jx) + i \sin(jx), \quad j \geq 0.$$

Aproximace funkce  $f(x)$  je pak částečný součet Fourierovy řady

$$f_n(x) = \frac{1}{2\pi} \sum_{j=0}^n \left( \int_0^{2\pi} f(z) e^{-i(jz)} dz \right) e^{i(jx)}$$

# Rychlá Fourierova transformace

Diskrétní Fourierova transformace, složitost  $O(n^2)$

$$\alpha_j := \sum_{k=0}^n f_k e^{-2\pi i \left(j \frac{k}{n+1}\right)}, \quad k = 0, 1, \dots, n,$$

kde  $f_k := f\left(2\pi \frac{k}{n+1}\right)$ .

**Rychlá Fourierova transformace (FFT), složitost  $O(n \log n)$**

Nechť  $n = n_L$ ,  $n_L + 1 = 2^L$ , kde  $L \in \mathbb{N}$ . Pak

$$\begin{aligned} \underbrace{\alpha_j}_{\text{FFT}_{L,j}(\mathbf{f})} &= \sum_{k=0,2,\dots,n_L-1} f_k \exp\left(-2\pi i \left(j \frac{k}{n_L + 1}\right)\right) + \sum_{k=1,3,\dots,n_L} f_k \exp\left(-2\pi i \left(j \frac{k}{n_L + 1}\right)\right) \\ &= \underbrace{\sum_{k=0}^{n_L-1} f_{2k} \exp\left(-2\pi i \left(j \frac{k}{n_{L-1} + 1}\right)\right)}_{\text{FFT}_{L-1,j}(\mathbf{f}_{\text{sude}})} + e^{-2\pi i \left(j \frac{1}{n_L + 1}\right)} \underbrace{\sum_{k=0}^{n_L-1} f_{2k+1} \exp\left(-2\pi i \left(j \frac{k}{n_{L-1} + 1}\right)\right)}_{\text{FFT}_{L-1,j}(\mathbf{f}_{\text{liche}})} \end{aligned}$$

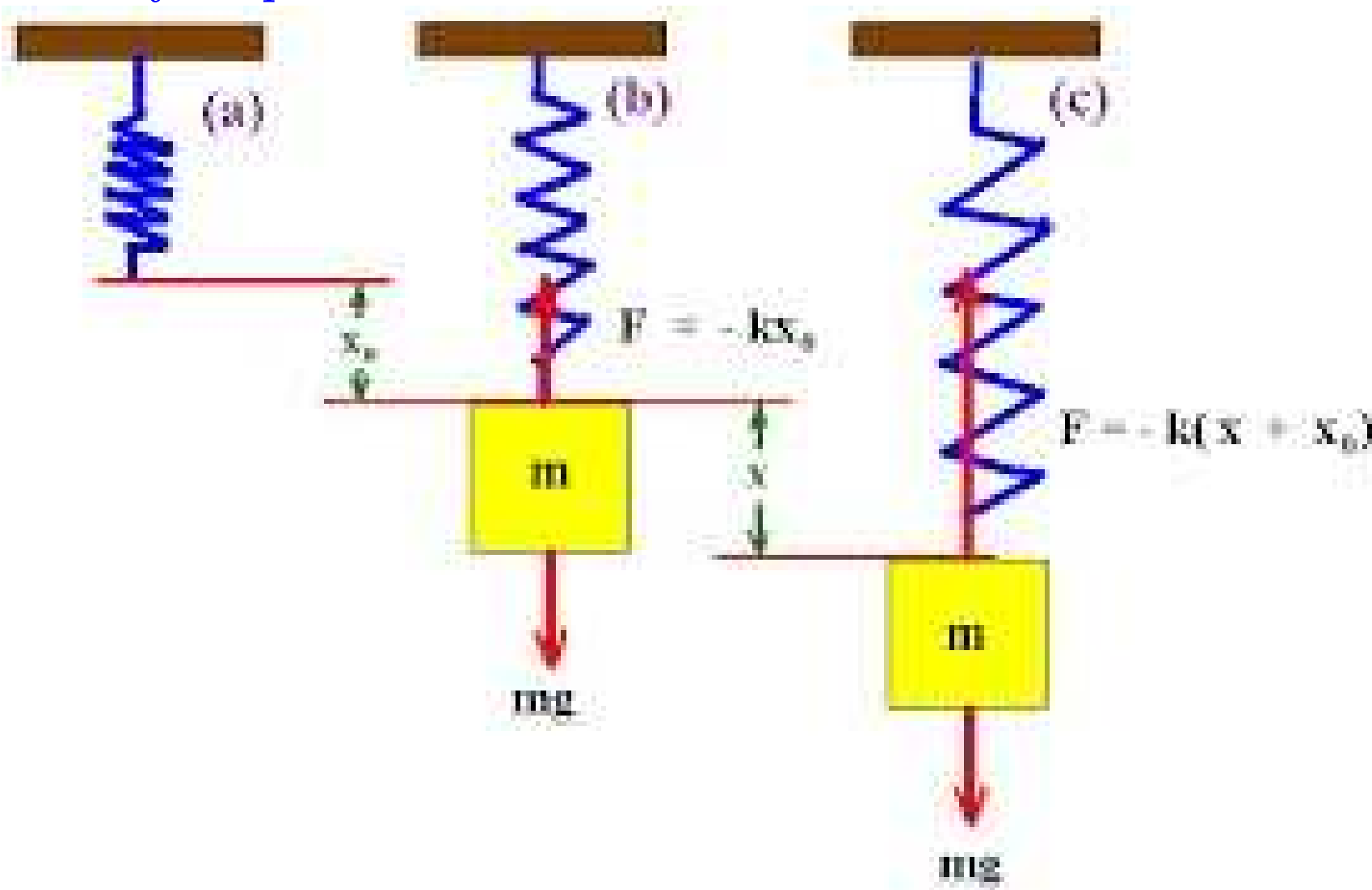
# Stabilní a rychlé numerické metody pro řešení náročných inženýrských úloh

## Osnova 3. přednášky: Aproximace metodou nejmenších čtverců, FFT

- Metoda nejmenších čtverců konkrétně
- Metoda nejmenších čtverců abstraktně
- Metoda nejmenších čtverců stabilně a rychle
- Rychlá Fourierova transformace
- Spektrální metody řešení diferenciálních rovnic

# Spektrální metody řešení diferenciálních rovnic

Volné kmity na pružině



# Spektrální metody řešení diferenciálních rovnic

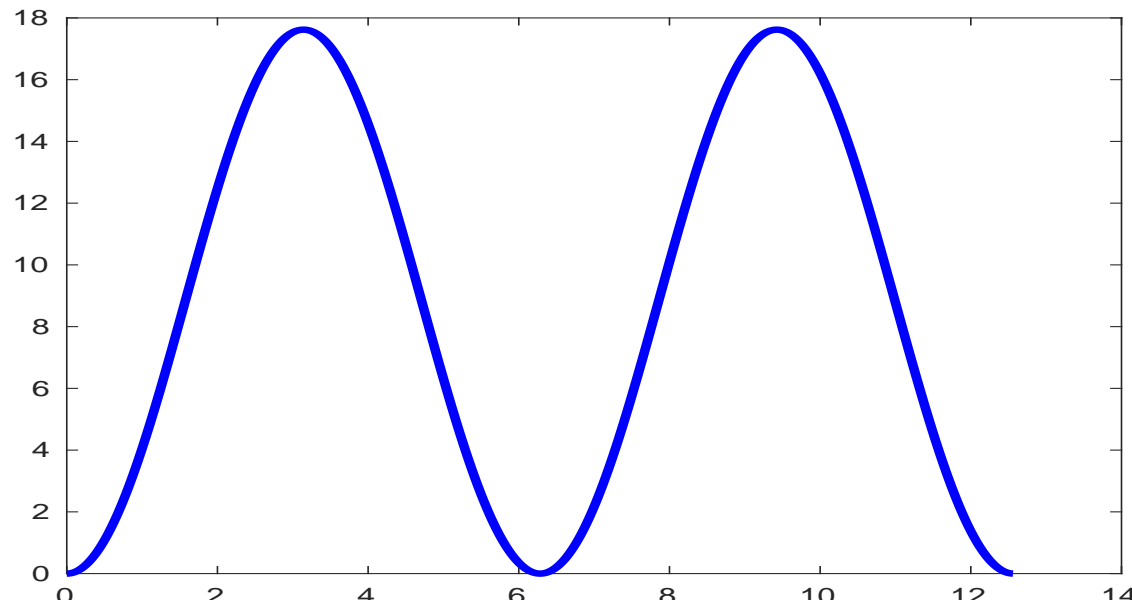
## Volné kmity na pružině

Je dána počát. výchylka  $x_0$ , tříhové zrychlení  $g$ , hmotnost tělesa  $m$  a tuhost pružiny  $k$ . Hledáme trajektorii  $x(t)$ :

$$\begin{cases} m x''(t) + k x(t) = m g - k x_0, \\ x(0) = 0, \\ x'(0) = 0. \end{cases}$$

Řešení je  $x(t) = \left(x_0 - \frac{mg}{k}\right) \left(\cos\left(\sqrt{\frac{k}{m}}t\right) - 1\right)$ .

Např.  $x_0 = m = k = 1$ :



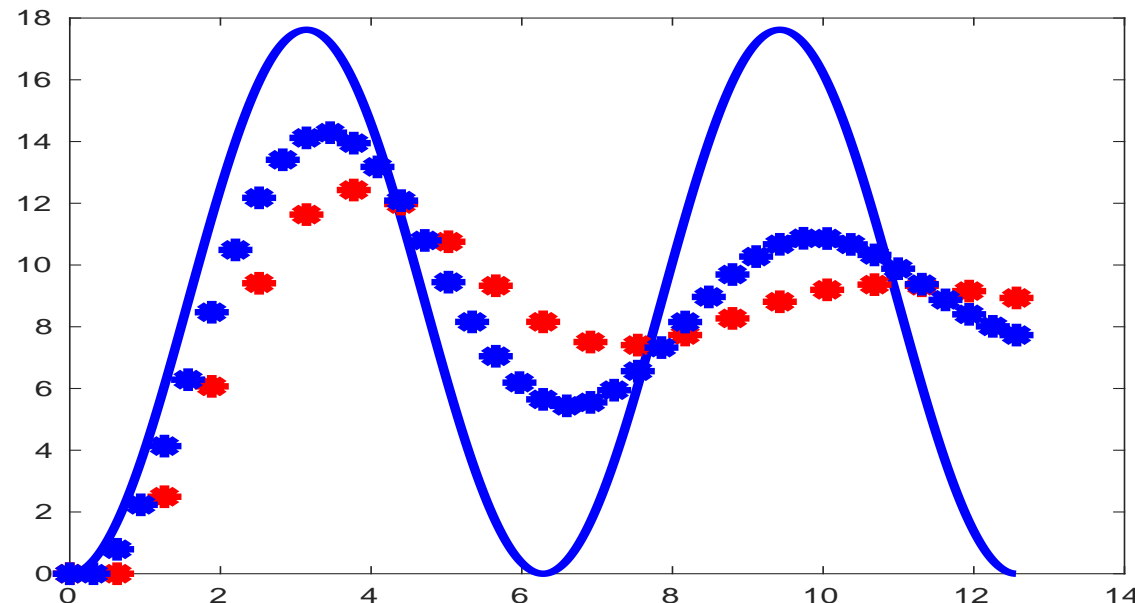
# Spektrální metody řešení diferenciálních rovnic

## Volné kmity na pružině: numerické řešení Eulerovou metodou

Je dána počát. výchylka  $x_0$ , tříhové zrychlení  $g$ , hmotnost tělesa  $m$  a tuhost pružiny  $k$ . Navíc je dán časový krok  $\Delta t$ . Hledáme přibližné hodnoty  $x_j \approx x(t_j)$  v časech  $t_j = j\Delta t$ :

$$\begin{cases} m \frac{1}{(\Delta t)^2} (x_{j+2} - 2x_{j+1} + x_j) + k x_{j+2} = m g - k x_0, \\ x_0 = 0, \\ \frac{1}{\Delta t} (x_1 - x_0) = 0. \end{cases}$$

Např.  $\Delta t = \frac{4\pi}{20}, \frac{4\pi}{40}$ :



# Spektrální metody řešení diferenciálních rovnic

## Volné kmity na pružině: numerické řešení projekcí na polynomy

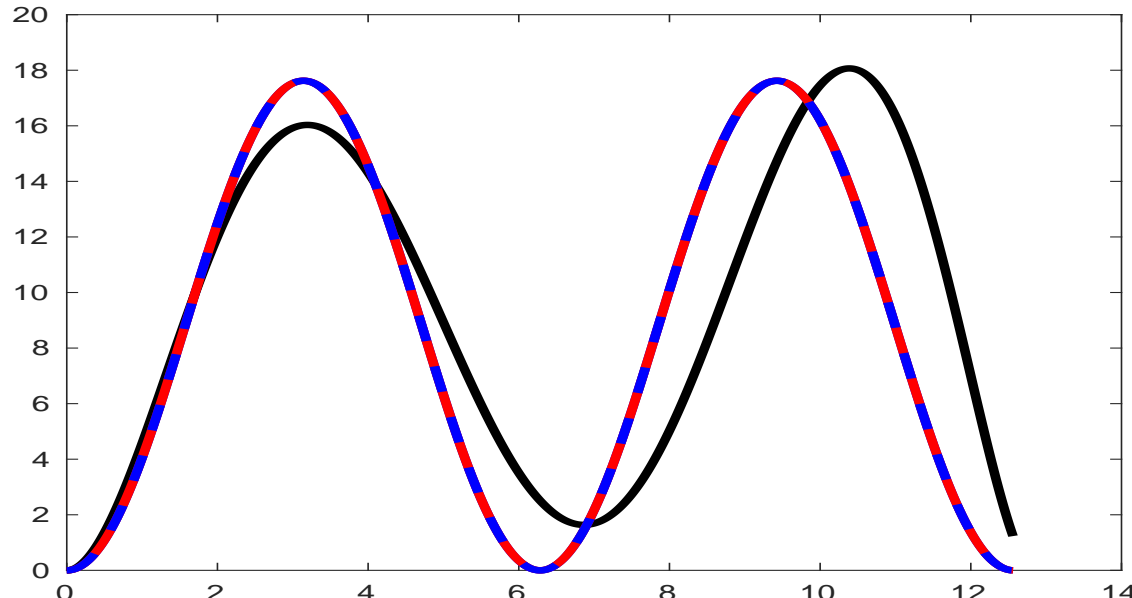
Je dána počát. výchylka  $x_0$ , tříhové zrychlení  $g$ , hmotnost tělesa  $m$  a tuhost pružiny  $k$ .

Navíc je dán stupeň polynomu  $n + 2$ . Hledáme přibližné řešení

$x_n(t) = \sum_{j=2}^{n+2} \alpha_j t^j \approx x(t) \rightsquigarrow$  Soustava  $n + 1$  lineárních rovnic o  $n + 1$  neznámých:

$$t^i \cdot (mx_n''(t) + kx_n(t)) = -t^i \cdot (mg - kx_0) \text{ for } i = 0, 1, \dots, n - 2$$

Např.  $n = 5, 10$ :



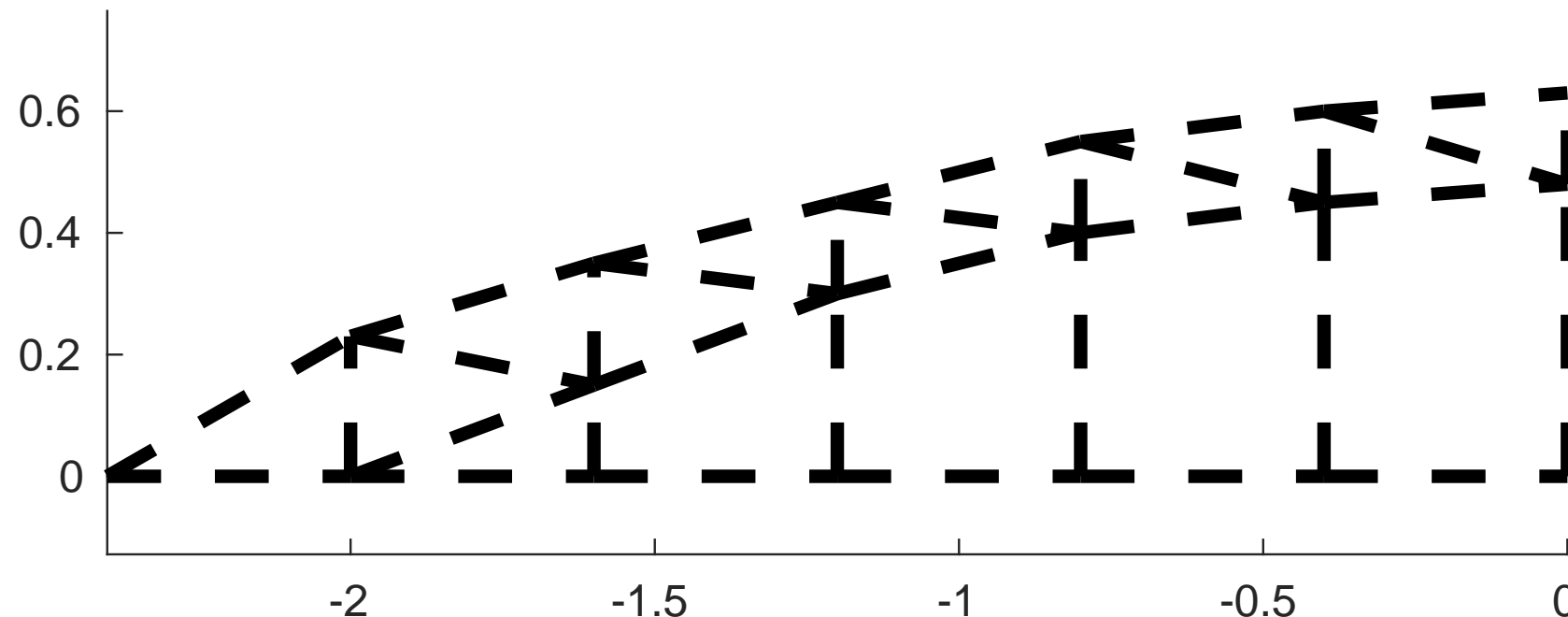
# Spektrální metody řešení diferenciálních rovnic

Volné kmity Sýkorova mostu



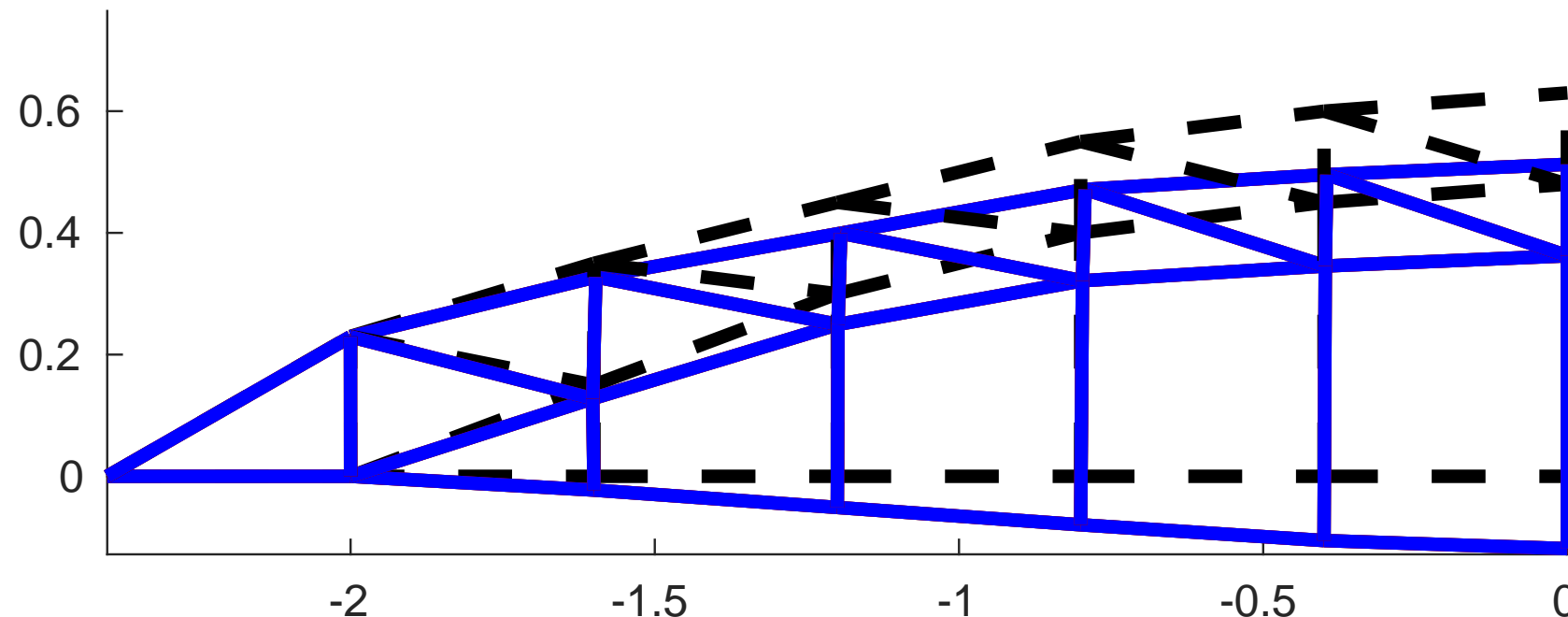
# Spektrální metody řešení diferenciálních rovnic

Volné kmity Sýkorova mostu: Euler vers. projekce



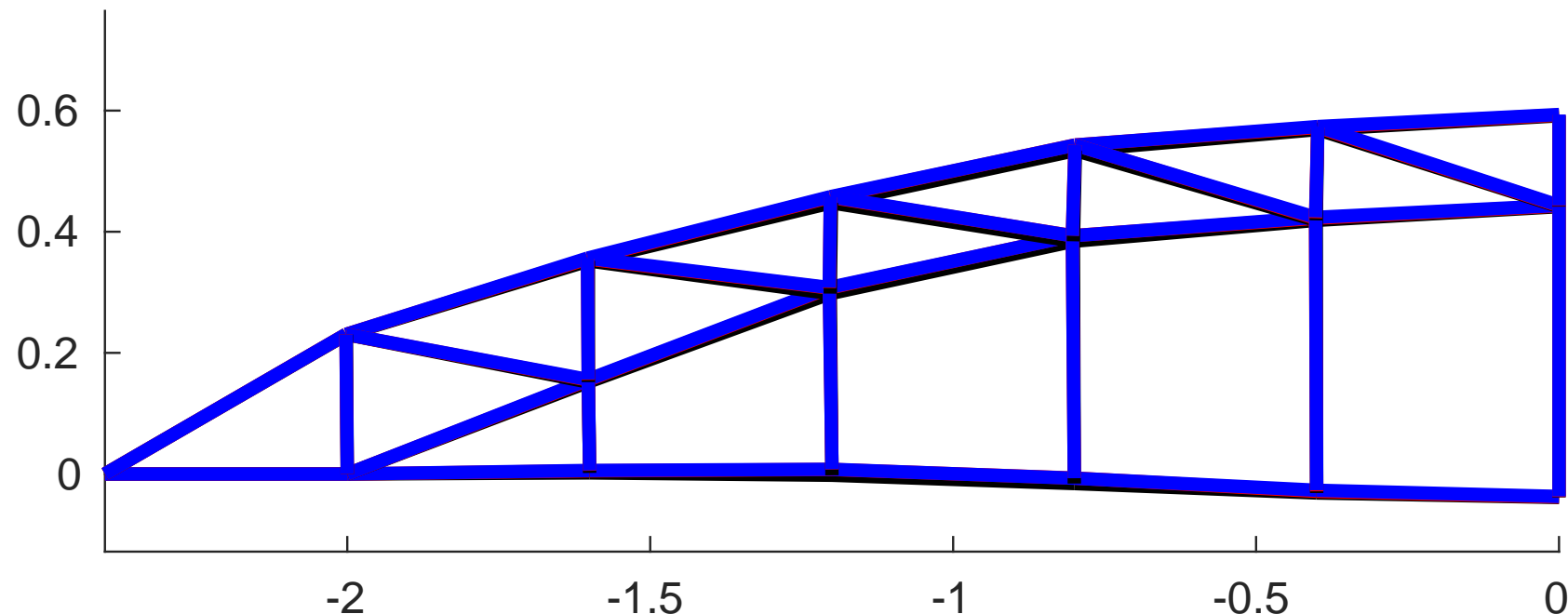
# Spektrální metody řešení diferenciálních rovnic

Volné kmity Sýkorova mostu: Euler vers. projekce



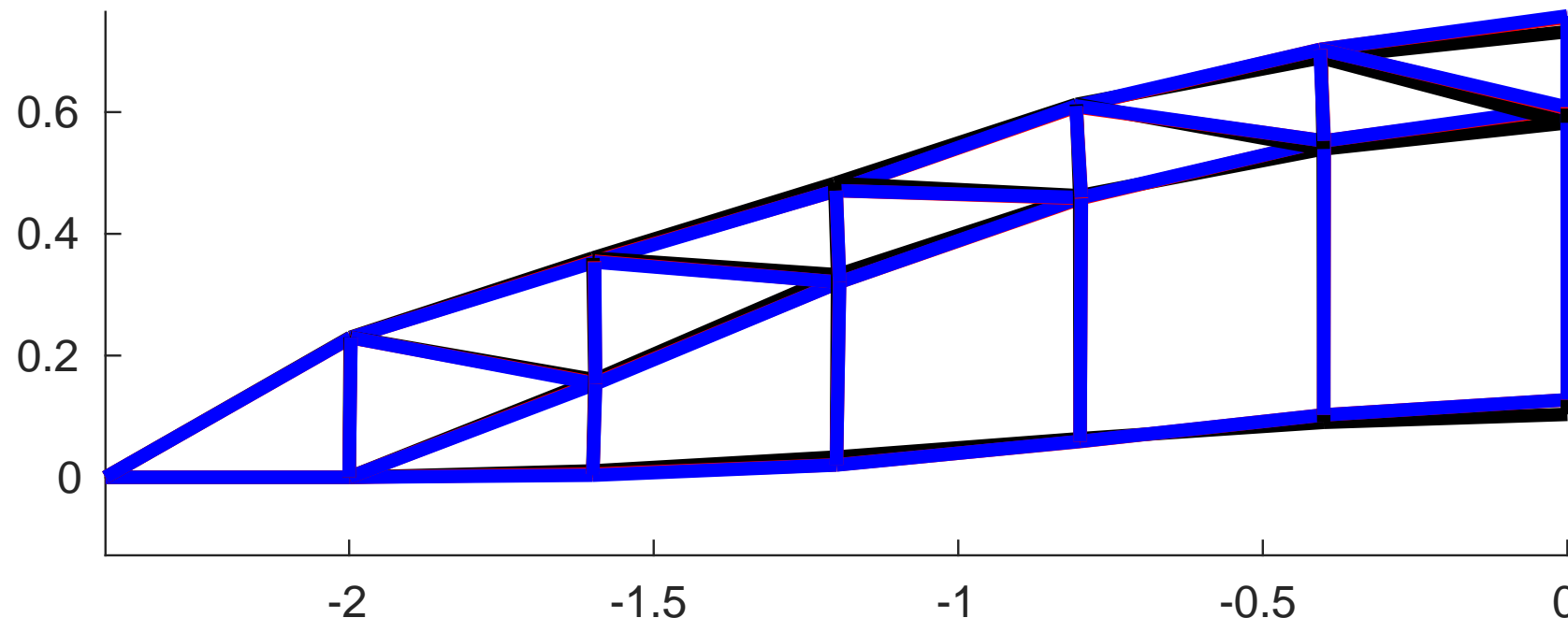
# Spektrální metody řešení diferenciálních rovnic

Volné kmity Sýkorova mostu: Euler vers. projekce



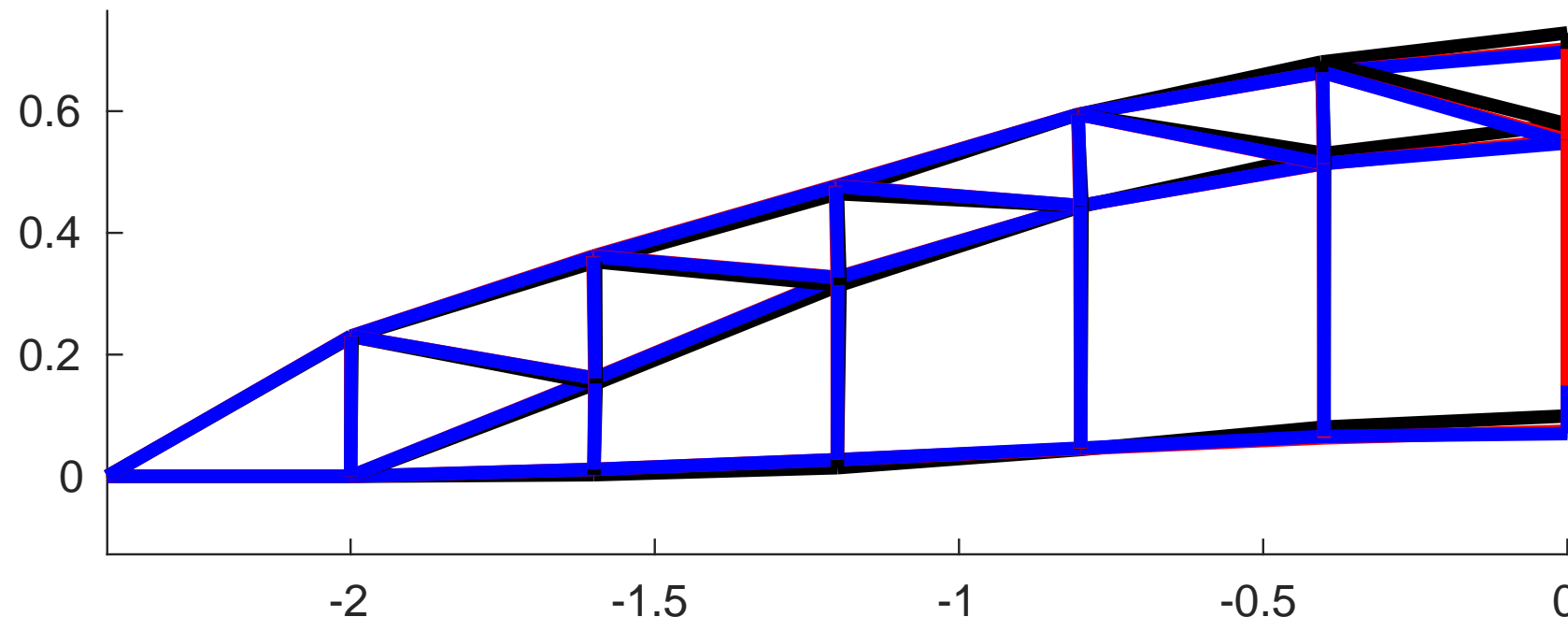
# Spektrální metody řešení diferenciálních rovnic

Volné kmity Sýkorova mostu: Euler vers. projekce



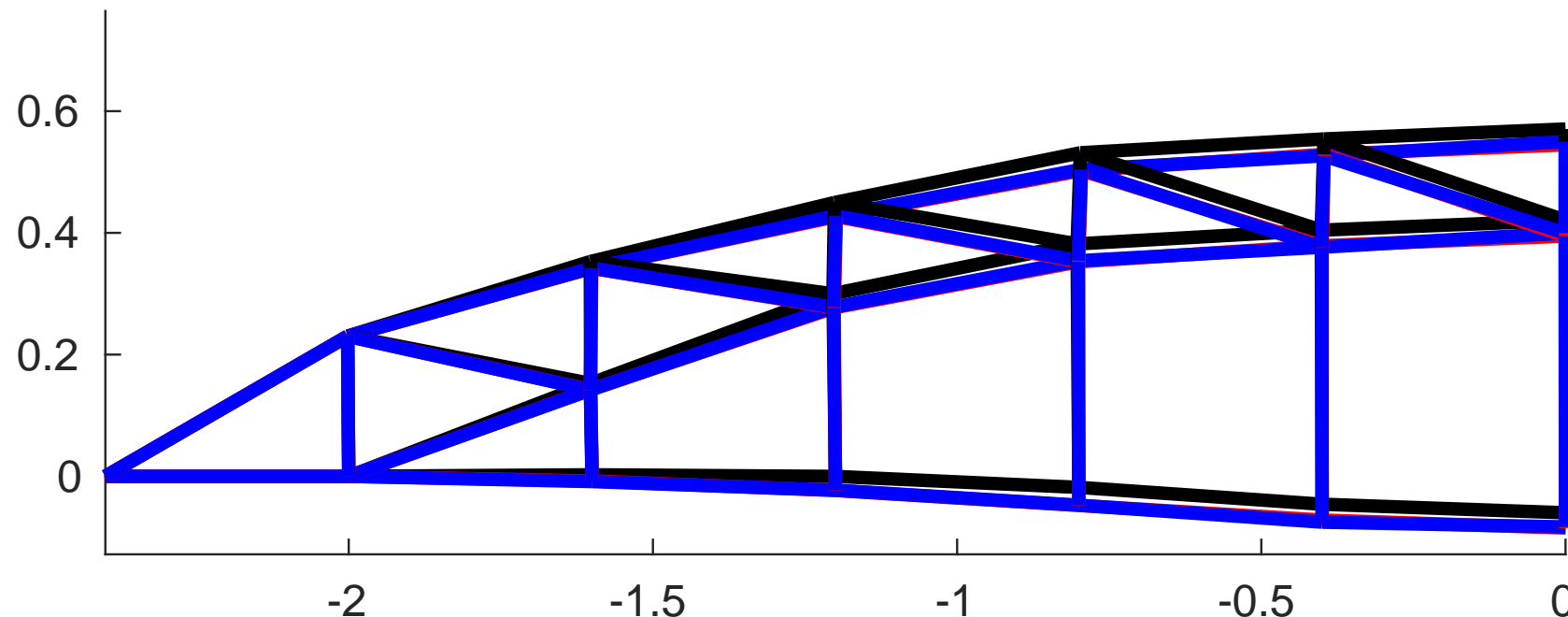
# Spektrální metody řešení diferenciálních rovnic

Volné kmity Sýkorova mostu: Euler vers. projekce



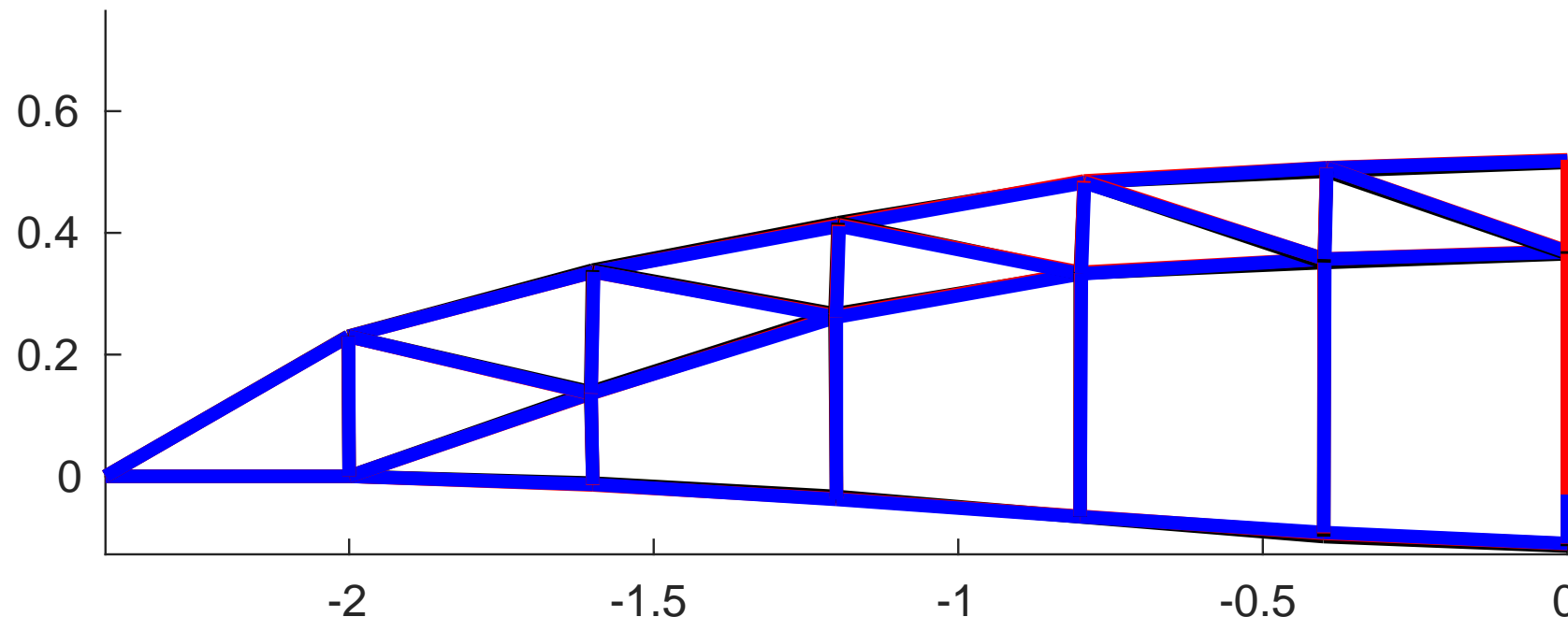
# Spektrální metody řešení diferenciálních rovnic

Volné kmity Sýkorova mostu: Euler vers. projekce



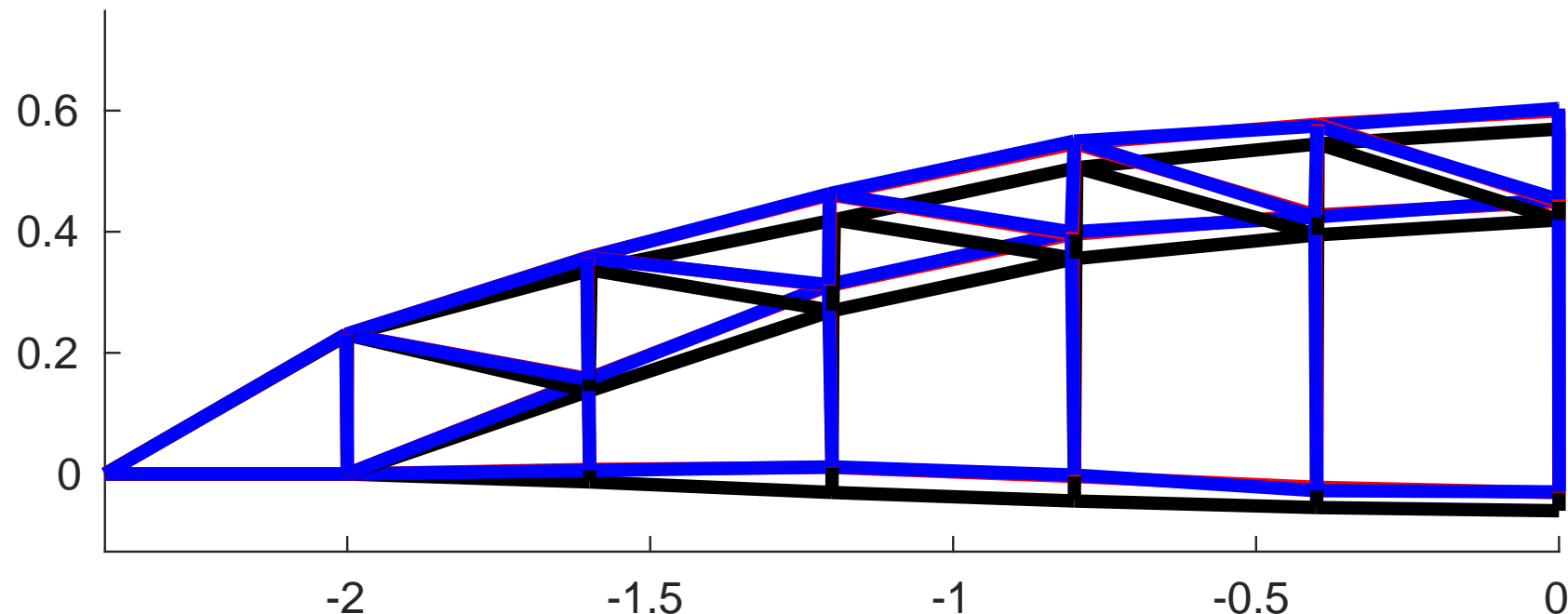
# Spektrální metody řešení diferenciálních rovnic

Volné kmity Sýkorova mostu: Euler vers. projekce



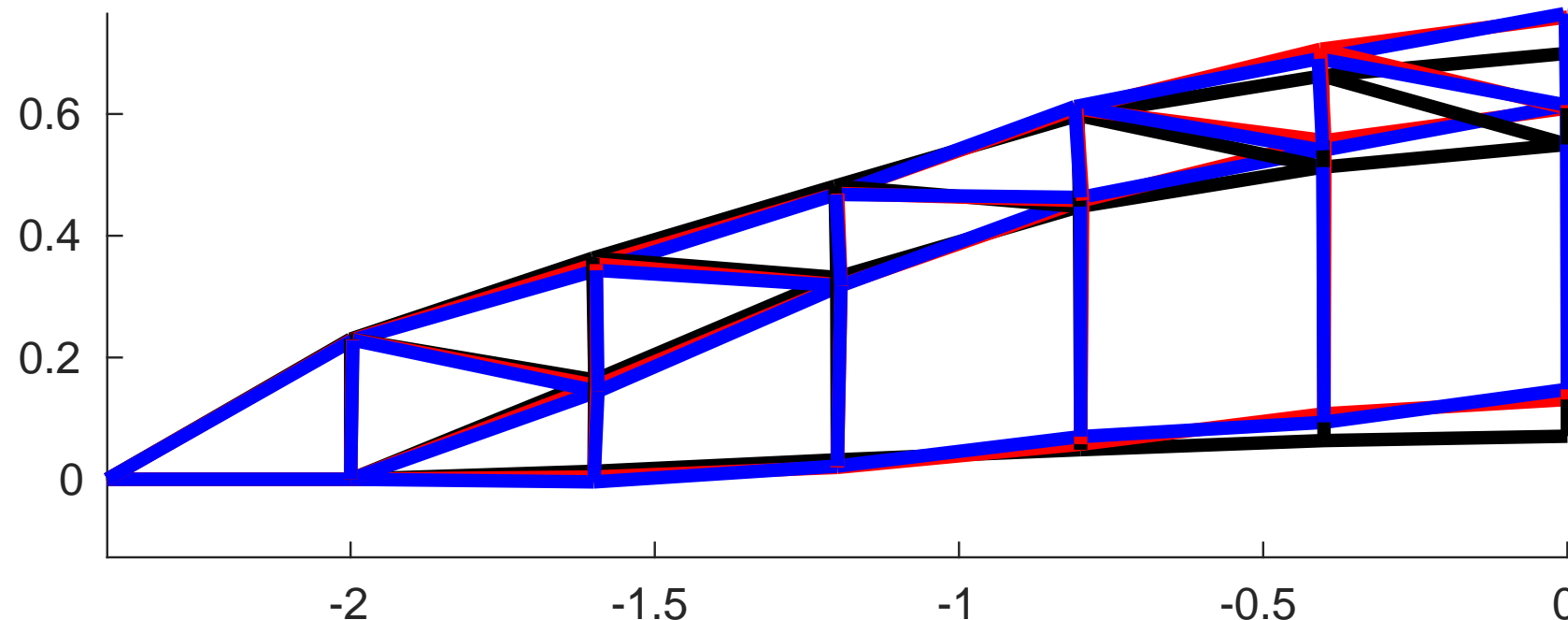
# Spektrální metody řešení diferenciálních rovnic

Volné kmity Sýkorova mostu: Euler vers. projekce



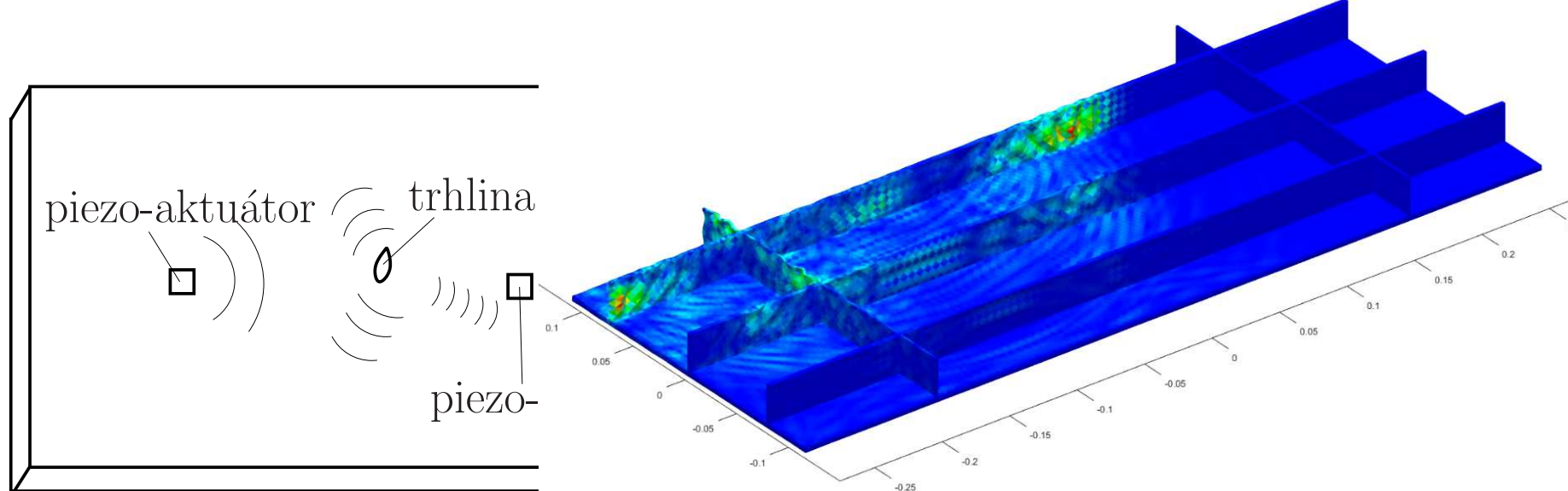
# Spektrální metody řešení diferenciálních rovnic

Volné kmity Sýkorova mostu: Euler vers. projekce



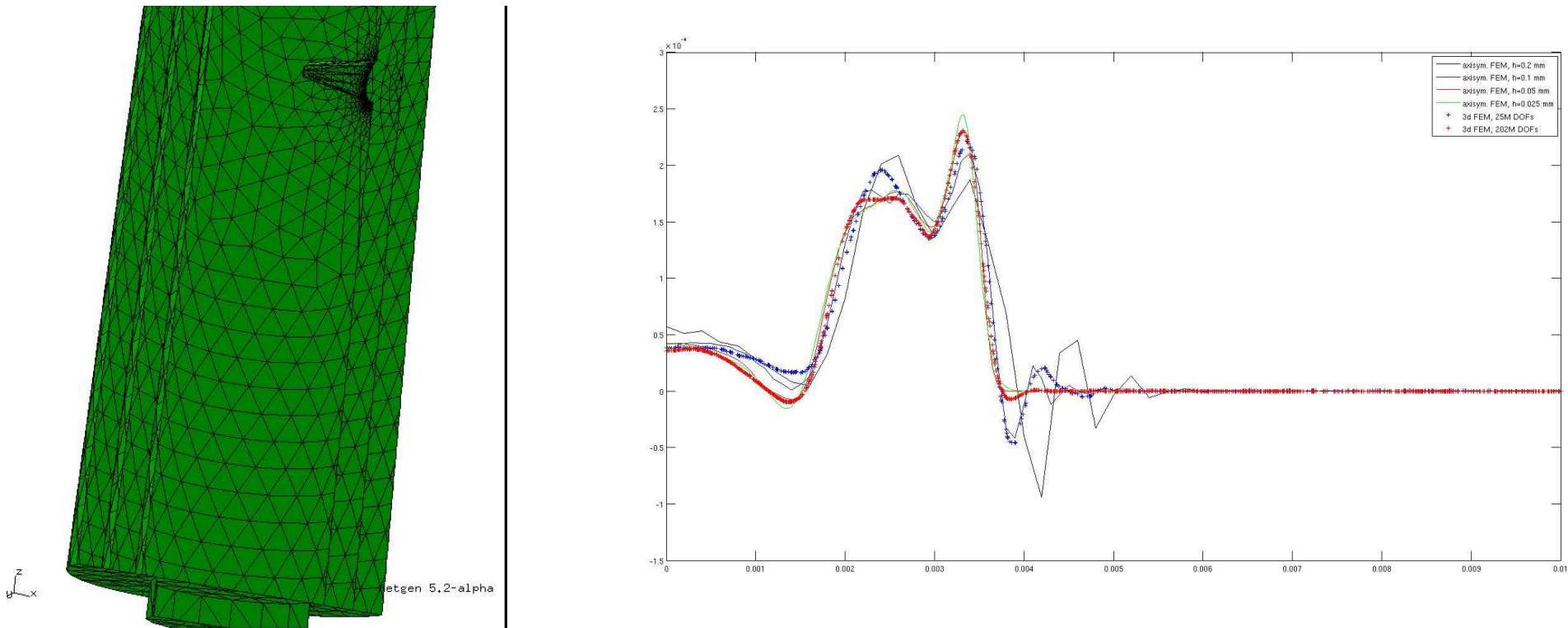
# Spektrální metody řešení diferenciálních rovnic

Ultrazvuková defektoskopie draku letadla Spolupráce (s Honeywell)



# Spektrální metody řešení diferenciálních rovnic

Ultrazvukové měření výšky hladiny oleje v autě (s Continental)



# Spektrální metody řešení diferenciálních rovnic

## Elektromagnetické tváření plechů (s Fraunhofer)

cívka ( $\Omega^{\text{ext}}$ ): 3 závity,

budicí proud: amplituda 100 kA, půl perioda sinu, frekvence 8.33 kHz,

vodič ( $\Omega^{\text{int}}$ ): hliníkový plech, tl. 2 mm thin, 2 mm nad cívkou

